

ричности. При увеличении массы заряда ВВ отмечено, что сосуд 4 разрушился с образованием осколков при нагружении взрывом с $p_{дин} = 259$ МПа (расчетное разрушающее давление $p_{ср} = 212$ МПа); у сосуда 3 при нагружении взрывом ($p_{дин} = 228$ МПа) разрушились внутренний слой (длина трещины в среднем 18 мм) и резьбовое соединение горловины с пробкой ($p_{ср} = 175$ МПа). У сосуда 1 при нагружении ($p_{дин} = 235$ МПа) разрушился внутренний слой, образовалась трещина протяженностью 40 мм и разрушилось резьбовое соединение горловины с пробкой ($p_{ср} = 100$ МПа). Сосуд 2 был подвергнут нагружению взрывом до $p_{дин} = 176$ МПа ($p_{ср} = 110$ МПа). Визуальное микроисследование поверхностей сосуда, а также проверка на герметичность не выявили очагов разрушения.

Из анализа выполненного комплекса работ, включающего выбор конструкции СВД, изготовление и испытание внутренним взрывным разрушением при положительной температуре, следует:

1) предложенная конструкция и технология изготовления обеспечивают высокую конструктивную прочность по условиям динамических испытаний. Принимая во внимание одно из основных нормативных требований к сосуду такого типа (для применения в механизме натяжения и сдавания трактора Т-800 [2], где максимальное рабочее давление в режиме эксплуатации не превышает 30 МПа), можно заключить, что предложенная конструкция СВД имеет в среднем шестикратный запас прочности;

2) четырехслойный сферический сосуд, выполненный из сталей 09Г2 и 12ХГНМФ, обладает высокой сопротивляемостью хрупкому разрушению в условиях динамического нагружения.

ЛИТЕРАТУРА

1. Сериков С. В., Пашков Ю. И. и др. Механика разрушения многослойных и армированных сосудов давления сферического типа при пониженной температуре испытания // Проблемы прочности. — 1990. — № 1. — С. 29—33.
2. Махутов И. А., Сериков С. В. и др. Количественное сопоставление характера разрушения сферических оболочек давления при пониженной температуре испытания // Проблемы машиностроения и автоматизации. — 1991. — № 1. — С. 64—73.
3. Взрывные явления. Оценка и последствия. Пер. с англ./Бейкер и др. Под ред. Я. Б. Зельдовича, Б. Е. Гельфанда. — М.: Мир, 1986. — Кн. 1.
4. Александров А. Н., Иванов А. Г. и др. Исследование пластического деформирования стальных сферических оболочек при внутреннем взрывном нагружении // ПМТФ. — 1982. — № 6. — С. 103—108.
5. Иванов А. Г., Учаев А. А. и др. Импульсное разрушение геометрически подобных объектов // Докл. АН СССР. — 1981. — 261, № 4. — С. 868—873.

г. Днепропетровск

Поступила в редакцию 27/VIII 1991,
после доработки — 17/II 1991

УДК 666.233 : 534.222

H. V. Козырев, E. C. Голубева

ИССЛЕДОВАНИЕ ПРОЦЕССА СИНТЕЗА УЛЬТРАДИСПЕРСНЫХ АЛМАЗОВ ИЗ СМЕСЕЙ ТРОТИЛА С ГЕКСОГЕНОМ, ОКТОГЕНОМ И ТЭНОМ

Экспериментально исследованы зависимости выхода конденсированного углерода, ультрадисперсного алмаза (УДА) и доли УДА в углероде от состава литых смесей тротила с гексогеном, октогеном и тэном при детонации во взрывной камере. Изучены смеси с содержанием ТНТ от 90 до 35 %. Показано, что выход конденсированного углерода линейно падает с уменьшением количества тротила в смеси; доля алмазной фазы в углероде при этом монотонно возрастает (для смесей с тэном) либо выходит на стационар (для смесей с гексогеном, октогеном). Зависимость выхода УДА от состава ВВ носит экстремальный характер: максимум выхода достигается при содержании тротила 60—70 %.

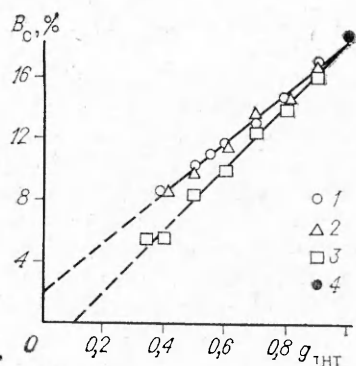


Рис. 1. Зависимость выхода конденсированного углерода B_c от состава смесей тротила с гексогеном (1), октогеном (2), тэном (3) (4 — прессованный ТНТ).

Ультрадисперсные алмазы (УДА) образуются при детонационном разложении мощных взрывчатых веществ (ВВ) с отрицательным кислородным балансом из собственного углерода, входящего в их состав. Для синтеза УДА могут быть использованы различные индивидуальные и смесевые ВВ. Наиболее часто с этой целью применяются смеси тротила с более мощными ВВ — сенсибилизаторами: гексогеном, октогеном, триаминотринитробензолом [1—3]. Однако систематические исследования по влиянию состава различных смесей на выход УДА отсутствуют, а имеющиеся в литературе сведения носят противоречивый характер. В связи с этим данная работа посвящена изучению влияния состава гетерогенных смесей тротила с гексогеном (смеси ТГ), октогеном (ТО), тэном (ТТ) на выход конденсированного углерода С и алмаза в процессе детонационного синтеза во взрывной камере.

Экспериментальные исследования выполнялись следующим образом. Заряды для синтеза УДА цилиндрической формы диаметром 38 мм и массой 100 г готовили послойной заливкой в изложницу (5—8 слоев) с ухаживанием каждого слоя. Для литья использовались гексоген, октоген и тэн со средним ситовым размером кристаллов 160, 350 и 330 мкм соответственно. Гидростатическим методом контролировали плотность зарядов, которая составляла 0,975—0,98 от максимальной. Заряды подрывали во взрывной камере объемом 0,175 м³ в среде азота с $p = 0,8$ МПа. Заряд инициировали промежуточным детонатором (бустер, таблетки прессованного гексогена диаметром 20 мм, массой 8 г) и электродетонатором ЭД-8. Конденсированные продукты взрыва собирали, просеивали через сито с размером ячеек 0,315 мм, и из них с помощью магнитного поля удаляли магнитные примеси. Полученные продукты анализировали химическими методами на влажность, содержание общего углерода, алмаза и несгорающих примесей. По результатам анализов рассчитывали выходы конденсированного углерода B_c , алмаза $B_{уда}$ в процентах от массы ВВ и долю алмазной фазы в С (отношение массы алмаза к массе конденсированного углерода $B_{уда}/B_c$). Полученные величины корректировались с учетом выходом С и УДА из бустера. Поправки определены на основе проведения специальных экспериментов, каждая экспериментальная точка — среднее из 4—10 параллельных опытов.

На рис. 1 приведены зависимости выходов конденсированного С от состава исследованных смесей. С хорошей точностью для трех типов смесей экспериментальные точки описываются линейными зависимостями

$$B_c = A + Bg_{\text{TNT}}, \quad (1)$$

где g_{TNT} — массовая доля ТНТ в смеси ($\Sigma g_i = 1$). Коэффициенты A и B , полученные обработкой результатов экспериментов по методу наименьших квадратов, приведены в таблице. При $g_{\text{TNT}} = 1$ все три зависимости должны давать выход углерода, соответствующий B_c при взрыве чистого ТНТ. Полученные для исследованных смесей значения B_c^{TNT} близки между собой и хорошо соотно-

сятся как с литературными данными (18,1 % [2]), так и с экспериментально измеренной в тех же условиях величиной выхода С из прессованного ТНТ (заряд: масса 100 г, диаметр 40 мм, плотность 1,59 г/см³) — 18,7 %.

При $g_{\text{THT}} = 0$ полученные зависимости должны давать выходы углерода при взрыве сенсибилизаторов (параметр A в таблице). Видно, что предполагаемые значения B_C из гексогена и октогена близки между собой, как и следовало ожидать, исходя из равенства их брутто-формул на единицу массы, и практически совпадают с экспериментальной величиной выхода конденсированного углерода из чистого гексогена — 2,0 % [4]. Тэн в описанных условиях подрыва не должен выделять свободного углерода. Полученные результаты позволяют предположить, что в случае гетерогенных смесей ВВ парциональный удельный выход С для каждого компонента есть величина постоянная, равная B_C для чистого компонента при его взрыве в соответствующих условиях. В таком случае зависимость (1) может быть переписана в виде

$$B_C = \sum B_C^i g_i,$$

где B_C — выход углерода из смесевого ВВ; B_C^i — удельный выход углерода для i -го компонента смеси; g_i — мольная доля i -го компонента.

Таким образом, выход конденсированного углерода в значительной степени зависит от состава ВВ. Образование конденсированного углерода в продуктах детонации (ПД) определяется протеканием двух реакций:



Максимальное выделение углерода в конденсированной форме в ПД происходит, когда кислород ВВ окисляет весь водород до воды, а остаток кислорода расходуется на окисление С до CO₂. Этот максимально возможный выход B_C^{\max} приблизительно соответствует количеству С, которое существует в ПД в точке Чепмена — Йуге [5], а состав продуктов при этом отвечает максимально возможной теплоте взрыва [6]. В процессе расширения продуктов резко падает давление и равновесие в реакциях (2) сдвигается влево, при этом уменьшается количество углерода в продуктах взрыва. В результате конденсированный углерод, выделяющийся при взрыве, составляет только часть от максимально возможного его выхода.

С увеличением количества кислорода в составе ВВ при повышении доли сенсибилизатора эта часть снижается. Так, для чистого ТНТ наблюдаемый в экспериментах выход конденсированного углерода составляет 67,5 % от B_C^{\max} для смесей ТГ-40 и ТТ-40 — 54 и 42 % соответственно (цифра в обозначении ВВ соответствует содержанию тротила в смеси). Таким образом, с увеличением количества кислорода в составе ВВ происходит все больший сдвиг реакций (2) влево, что может быть связано с повышением температуры ПД в отраженных от стенки и центра камеры ударных волнах с ростом мощности ВВ.

Если в качестве критерия, характеризующего выделение конденсированного углерода при взрыве ВВ использовать B_C^{\max} , то экспериментальные значения B_C для всех исследованных типов смесей хорошо описываются единой линейной зависимостью (рис. 2)

$$B_C = -5,13 + 0,84 B_C^{\max}. \quad (3)$$

Величина максимального выхода конденсированного углерода зависит от соотношения горючих элементов и кислорода в ВВ и находится по формуле

$$B_C^{\max} = \mu_C [a - (c - b/2)/2]/m_0,$$

где μ_C — молекулярная масса углерода; m_0 — масса заряда ВВ общей формулы C_aH_bO_cN_d. Выражение (3) может быть использовано для оцен-

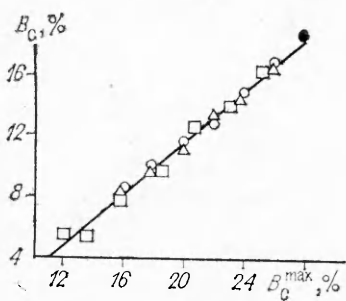


Рис. 2. Зависимость $B_c (B_c^{\max})$ (обозначения аналогичны рис. 1).

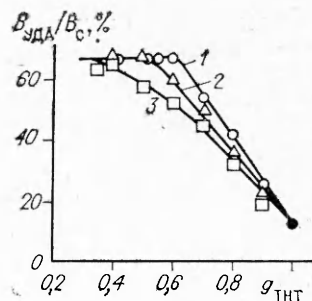


Рис. 3. Влияние состава смесей тротила с гексогеном (1), октогеном (2) и тэном (3) на долю алмазной фазы в конденсированном углероде.

ки выхода углерода из других ВВ в условиях, обеспечивающих эффективное охлаждение ПД. Так, экспериментально измеренные значения выходов углерода при взрыве ТНАБ (бис(2,4,6-тринитрофенил)-диазин) и Z-TAKOTA (2,4,8,10-тетранитро-5Н-бензотриазоло-/2,1-а/-бензотриазоли-6-ум) составляют 9,47 и 18,4 % соответственно [7]. Расчет по (3) дает для данных ВВ 10,5 и 18,2 % соответственно.

Зависимости доли алмазной фазы в конденсированном углероде от состава исследованных ВВ приведены на рис. 3. Видно, что с увеличением мощности ВВ (повышением количества сенсибилизатора в заряде) отношение B_{UDA}/B_c возрастает. Однако в случае использования гексогена и октогена эти зависимости выходят на стационар после того, как содержание указанных компонентов в смеси достигнет 40–50 %, в то время как для смеси с тэном B_{UDA}/B_c монотонно возрастает с увеличением его содержания вплоть до 65 %. Следует отметить, что все три зависимости в конечном итоге достигают одного и того же значения $B_{\text{UDA}}/B_c \approx 67 \%$, однако содержание сенсибилизатора, при котором доля алмазной фазы в углероде достигает этой величины, разное для всех трех ВВ.

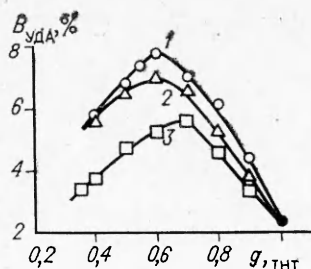
Наличие плато на рис. 3 может объясняться следующим. Поскольку синтез УДА происходит преимущественно из углерода молекул ТНТ [8], то существует определенное пороговое значение мощности детонационной волны, при превышении которого происходит эффективная деструкция молекулы тротила на углеродсодержащие фрагменты, превращающиеся в алмаз в условиях такой волны с достаточно высокой скоростью. Если мощность ДВ не достигает порогового уровня (или мала доля тротила, охваченного волной такой мощности — в случае гетерогенных смесей ВВ), то снижение доли УДА в углероде может объясняться следующими причинами.

1. Происходит недостаточная деструкция молекул тротила и образуются фрагменты, неблагоприятные для построения алмазной структуры.

2. Скорость образования и роста алмазных частиц в условиях сравнительно слабой детонационной волны мала и значительная часть углерода конденсируется в виде неалмазных форм, которые не успевают за время существования высоких температуры и давления в заметной степени превратиться в УДА.

Рост содержания сенсибилизатора приводит к увеличению мощности детонационной волны, а в случае гетерогенных систем — и к повышению доли тротила, охваченного волной большей амплитуды, что выражается в росте скорости образования алмазных частиц. При достижении содержания сенсибилизатора определенного значения, соответствующего пороговому уровню мощности ДВ, практически весь ТНТ в зоне химических реакций оказывается охваченным такой волной и претерпевает конверсию в продукты с эффективным образованием алмазных структур.

Рис. 4. Зависимость выхода УДА от состава смесей тротила с гексогеном (1), октогеном (2) и тэном (3).



Дальнейший рост содержания сенсибилизатора не приводит к увеличению доли тротила, охваченного волной пороговой мощности, и отношение $B_{\text{уда}}/B_c$ остается постоянным или может начать уменьшаться, если B_c из чистого сенсибилизатора достаточно высок, а доля алмазной фазы в выделяемом углероде низка.

Положение точки стабилизации или максимума зависимости $B_{\text{уда}}/B_c$ от состава ВВ определяется мощностью применяемого сенсибилизатора, его химическим составом, растворимостью в тротиле, а также дисперсностью. Так как тэн — менее мощное ВВ, чем октоген или гексоген, то для достижения точки стабилизации необходимо большее его содержание в смеси с ТНТ и стационарный участок на зависимости $B_{\text{уда}}/B_c$ от состава смесей ТТ отсутствует. Достижение точки стабилизации аналогичной зависимости при меньшем содержании гексогена, чем октогена, объясняется меньшей дисперсностью последнего. С повышением дисперсности сенсибилизатора положение точки стабилизации сдвигается в сторону увеличения содержания ТНТ в смеси.

На рис. 4 приведены зависимости выхода УДА от состава исследованных смесей. Все три зависимости имеют экстремальный характер: максимум выхода алмазов достигается при содержании тротила $\sim 60\%$ для смесей с октогеном и гексогеном, и при $65-70\%$ для смесей с тэном. Наличие экстремума объясняется конкуренцией двух процессов. Рост давления в детонационной волне с увеличением количества сенсибилизатора в смеси благоприятствует синтезу алмазных частиц из ТНТ, но при этом снижается общий выход конденсированного углерода. Таким образом, после достижения величины $B_{\text{уда}}^{\text{max}}$ выход начинает уменьшаться, поскольку снижение общего выхода углерода не компенсируется ростом доли УДА в нем. Поведение зависимостей B_c и $B_{\text{уда}}/B_c$ показано на рис. 1 и 3, откуда видно наличие экстремума при изменении выхода УДА с составом смеси.

Авторы выражают признательность А. П. Ванделю за полезные замечания при обсуждении работы.

ЛИТЕРАТУРА

- Лямин А. И., Петров Е. А., Ершов А. П. и др. Получение алмазов из взрывчатых веществ // Докл. АН СССР. — 1988. — 302, № 3. — С. 611—613.
- Титов В. М., Анистичкин В. Ф., Мальков И. Ю. Исследование процесса синтеза ультрадисперсного алмаза в детонационных волнах // ФГВ. — 1989. — 25, № 3. — С. 117—126.
- Greiner N. R., Phillips D. S., Johnson J. D. et al. Diamonds in detonation soot // Nature. — 1988. — 333, № 5. — P. 440—442.
- Баум Ф. А., Орленко Л. П., Станюкович К. П. и др. Физика взрыва. — М.: Наука, 1975. — 704 с.
- Мейдер Ч. Численное моделирование детонации. — М.: Мир, 1985. — 384 с.
- Пепекин В. И., Махов М. И., Лебедев Ю. А. Теплоты взрывчатого разложения индивидуальных ВВ // Докл. АН СССР. — 1977. — 232, № 4. — С. 852—855.
- Анистичкин В. Ф., Мальков И. Ю., Сагдеев Ф. А. Синтез алмаза при детонации ароматических нитро соединений // V Всесоюз. совещ. по детонации: Сб. докл. — Красноярск, 1991. — С. 27—30.
- Козырев Н. В., Брыляков П. М., Сен Чел Су и др. Исследование процесса синтеза ультрадисперсных алмазов методом меченых атомов // Докл. АН СССР. — 1990. — 314, № 4. — С. 889—891.

г. Бийск

Поступила в редакцию 26/II 1992